

Kaspersky Neuromorphic AI Conference 2025

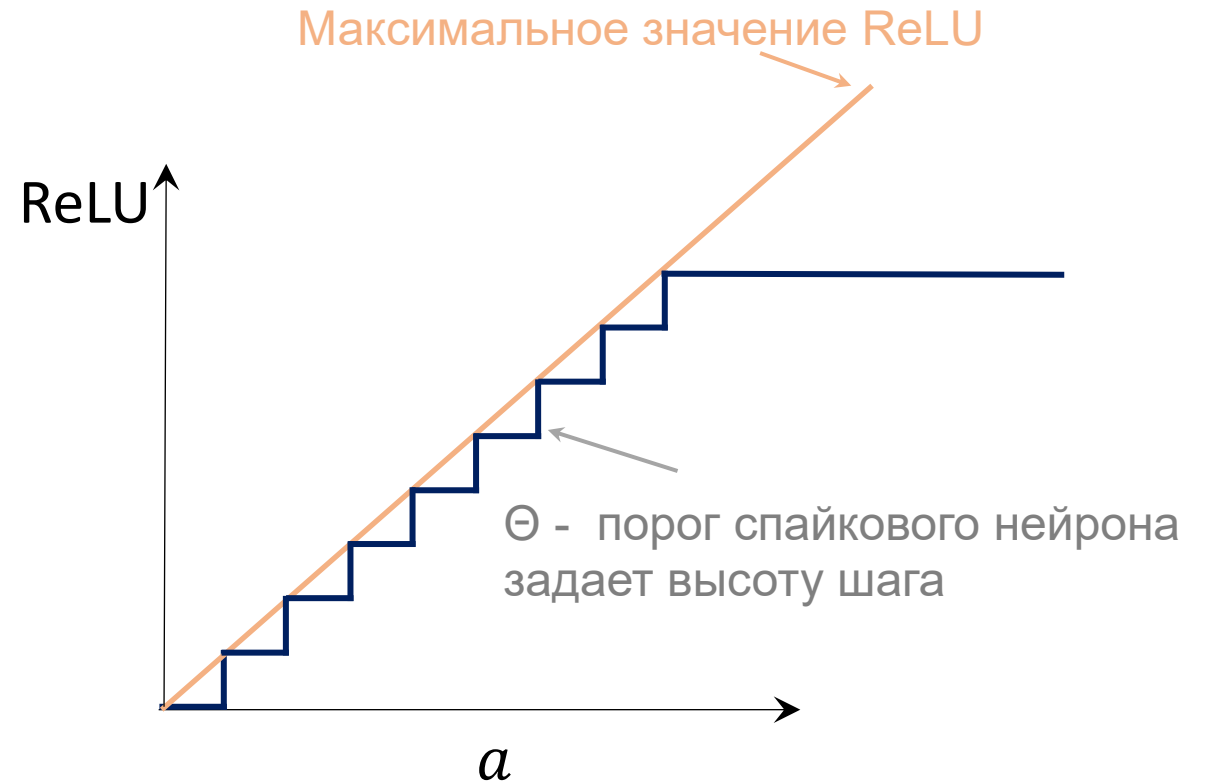
# Проблемы ANN-to-SNN конвертации и способы их устранения

Докладчик: Рыбка Роман  
НИЦ «Курчатовский институт»

# Общая идея ANN-to-SNN

- 1) Обучение нейросетевой модели (ANN) с функцией активации ReLU;
- 2) Перенос весов модели на спайковую сеть (SNN) с такой же архитектурой;
- 3) Выбор порога спайкового нейрона для частотного способа представления информации.

ReLU соотносится с количеством спайков IF нейрона



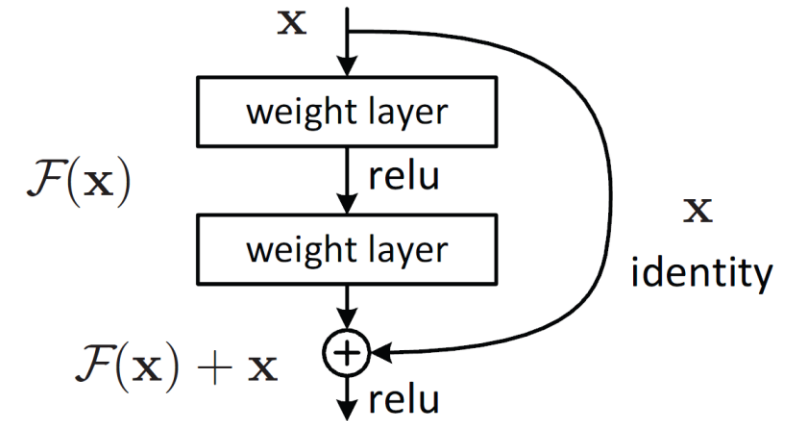
Потенциал Integrate-and-Fire (IF) нейрона:

$$V(t) = V(t - 1) \cdot \text{Heaviside}(\theta - V(t - 1)) + \sum_i w_i S_i(t)$$

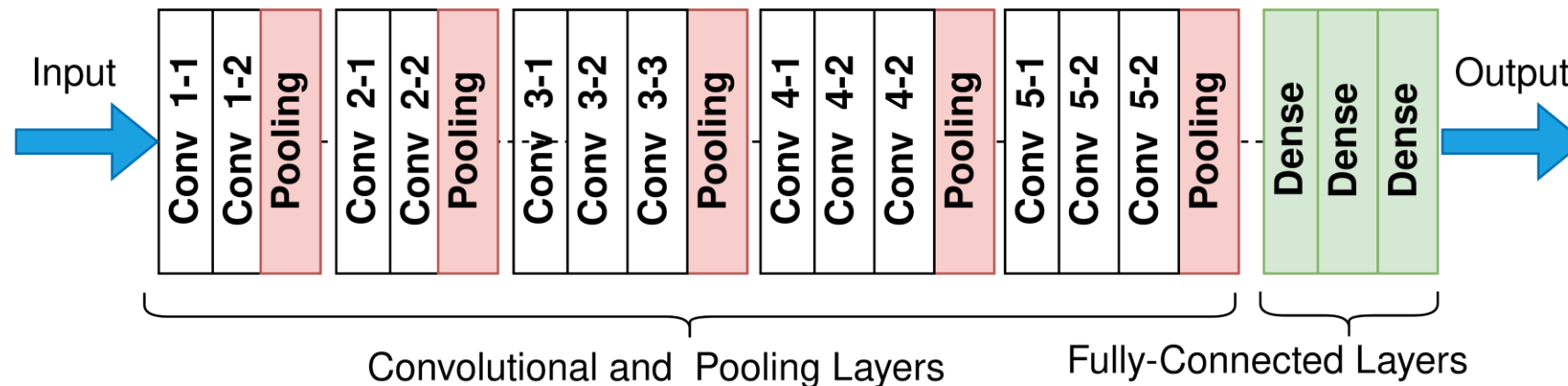
# Актуальность метода

- 1) Простота решения: не нужно выполнять вычислительно дорогостоящее обучение спайковой сети.
- 2) Универсальность: подходит для предобученных ANN разных архитектур.

Часть ResNet сети

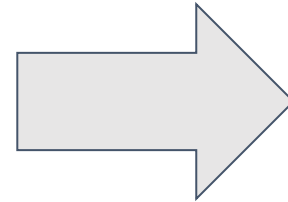
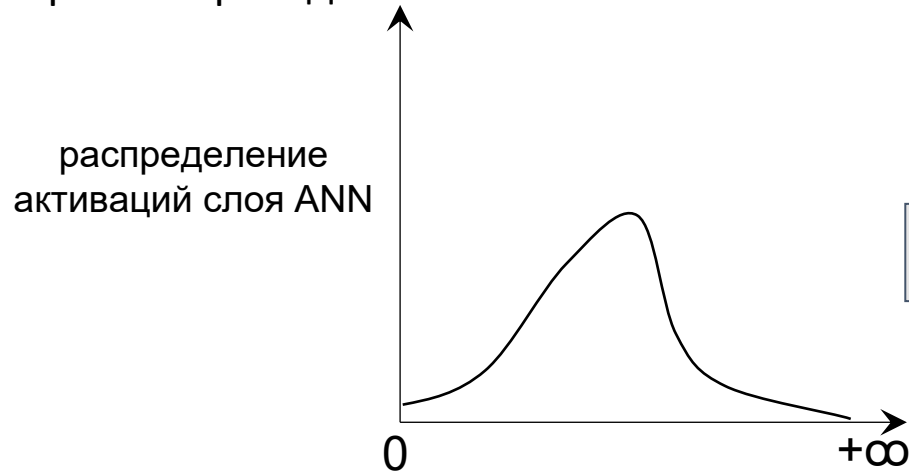


VGG16 Model Architecture

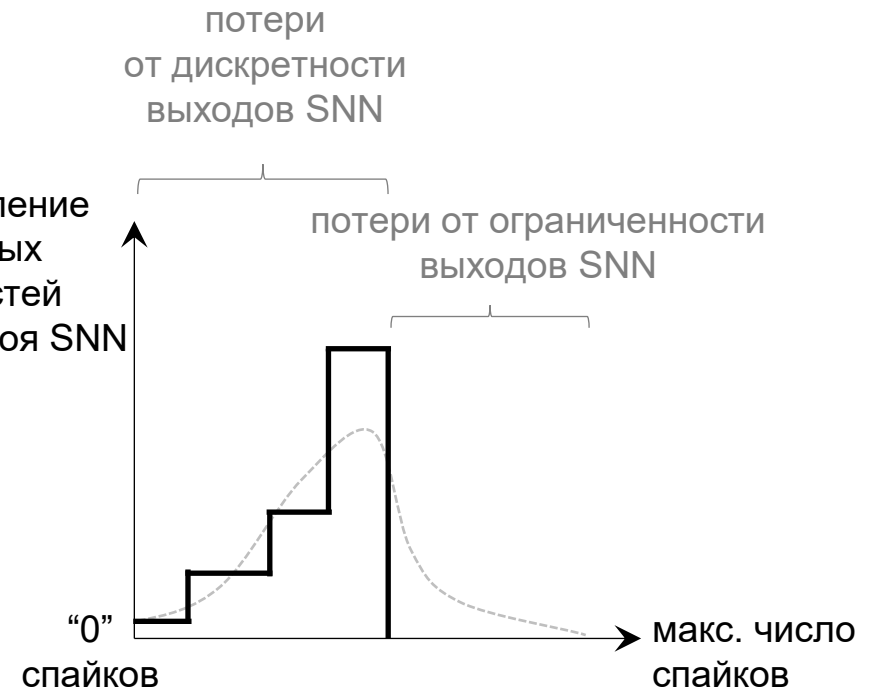


# Проблемы

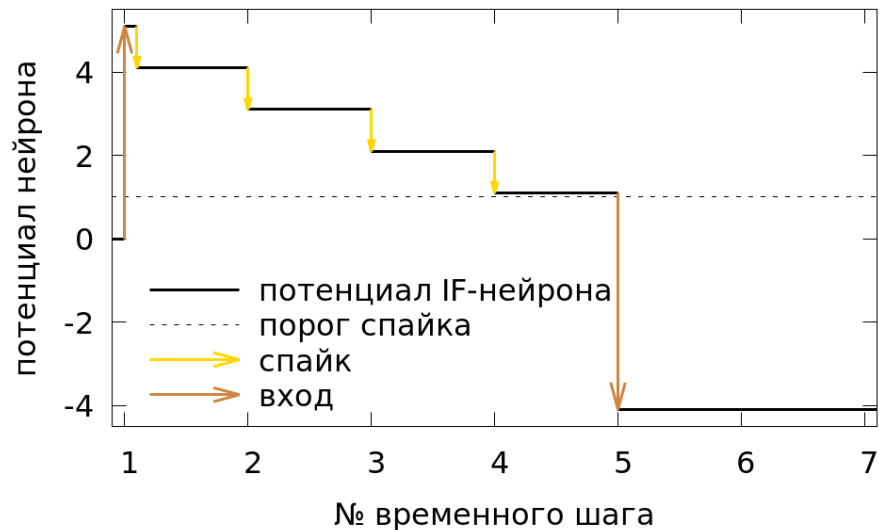
## I. Потери от перехода к спайкам



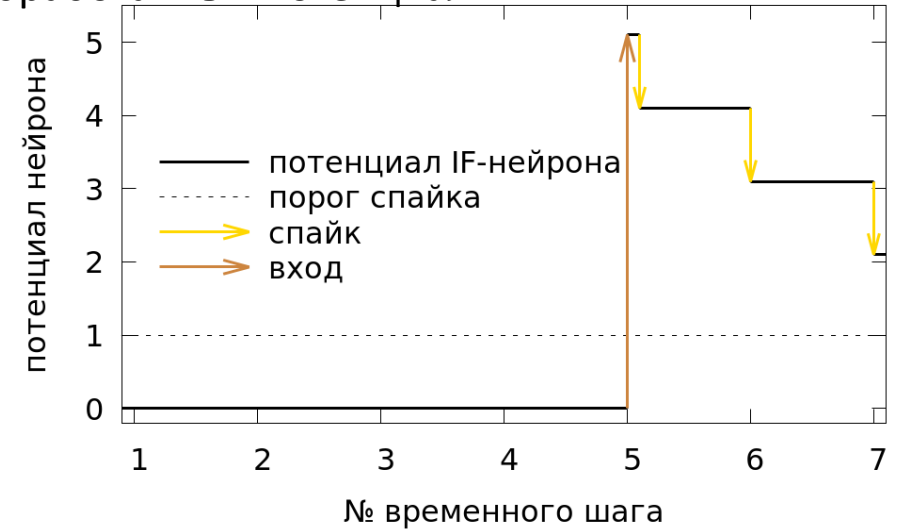
распределение выходных активностей нейронов слоя SNN



## II. Авансовые спайки



## III. Необработанный потенциал



# 1. Замена ReLU на ClipFloor

1) В (не)обученной ANN функция активации ReLU заменяется

на ступенчатую:  $\phi^l(T) = \text{clip} \left( \frac{\theta^l}{T} \left\lfloor \frac{a^l T}{\lambda^l} \right\rfloor, 0, \theta^l \right)$

2) (До)обучение с настройкой параметров:

$\theta^l, \lambda^l$  - высоты и ширины шага ступенчатой функции.

3) перенос весовых коэффициентов на связи в SNN и параметров QCFS (пороговых значений) на спайковые нейроны.

**Что дает:** избавляет от необходимости выбор порога и уменьшает ошибки от перехода к спайкам.

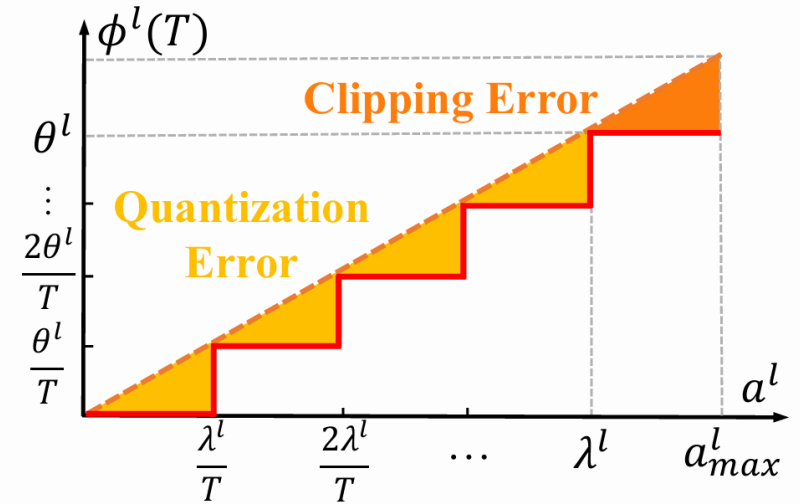


Table 2: Comparison between the proposed method and previous works on CIFAR-10 dataset.

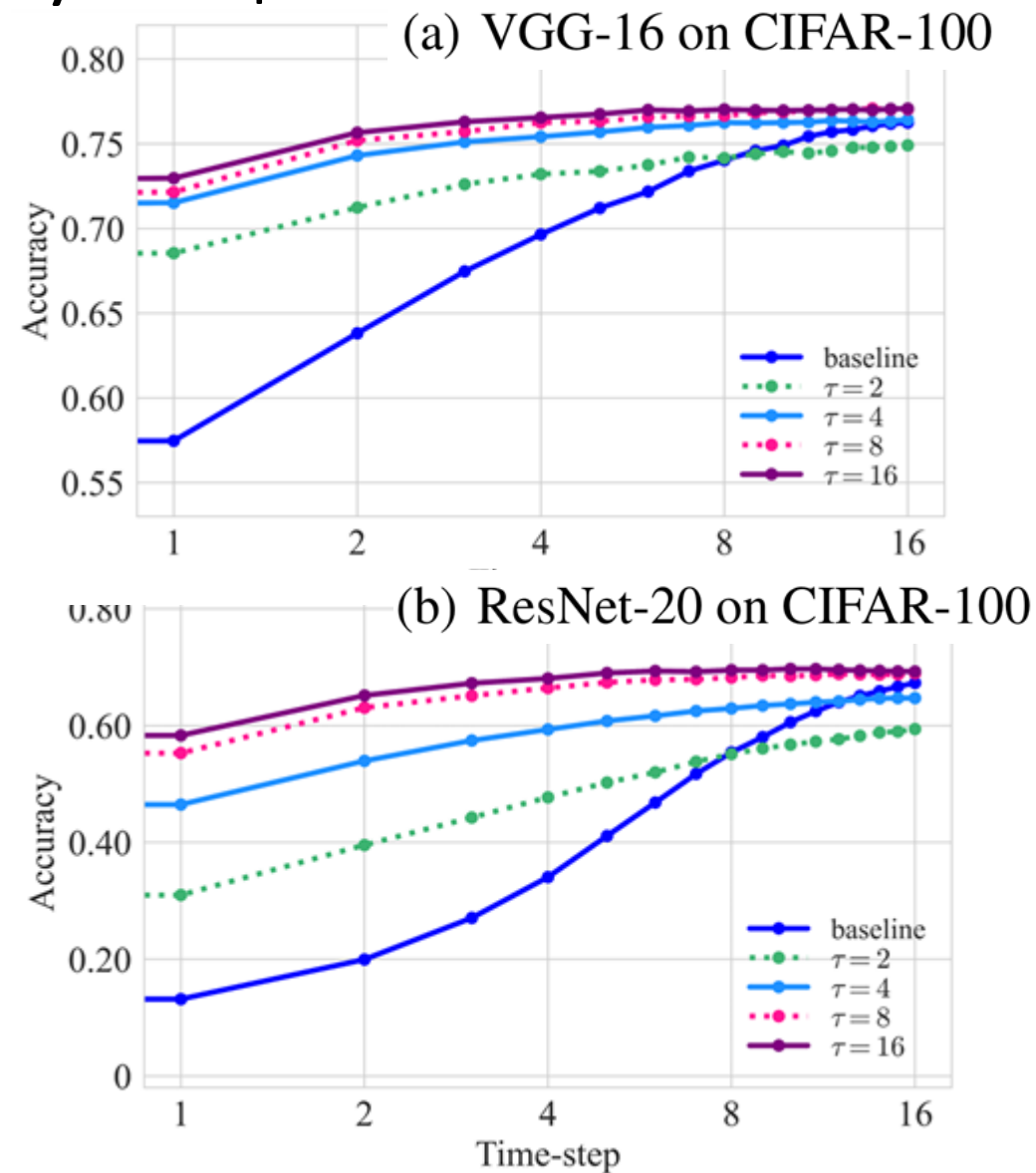
Architecture	Method	ANN	T=2	T=8	T=32
VGG-16	RMP	93.63%	-	-	60.30%
	TSC	93.63%	-	-	-
	RNL	92.82%	-	-	85.40%
	SNNC-AP	95.72%	-	-	93.71%
	<b>Ours</b>	95.52%	91.18%	94.95%	95.54%
ResNet-20	RMP	91.47%	-	-	-
	TSC	91.47%	-	-	-
	<b>Ours</b>	91.77%	73.20%	89.55%	92.24%
ResNet-18	RTS <sup>1</sup>	95.46%	-	-	84.06%
	SNNC-AP <sup>1</sup>	95.46%	-	-	94.78%
	<b>Ours</b>	96.04%	75.44%	94.82%	96.08%

## 2. Продление времени симуляции

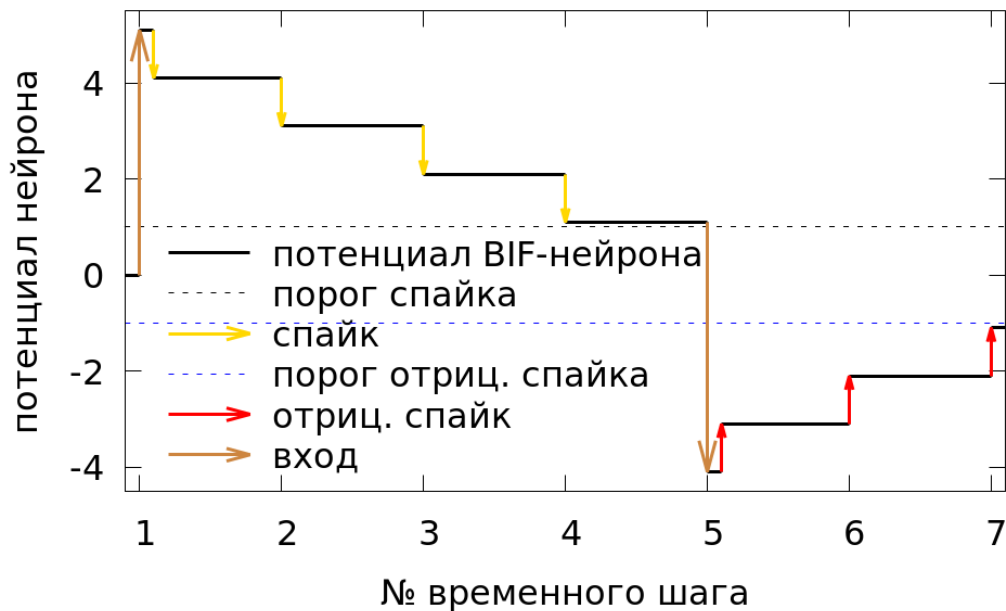
Идея: дать возможность отработать накопленный потенциал за дополнительное время симуляции.

Если за период дополнительного времени потенциал нейрона ниже порогового, нейрон «выключается».

**Что дает:** уменьшает ошибку остаточного потенциала



# 3. Введение отрицательных спайков



**Что дает:** частично решает проблему авансового спайкования

mBIF нейрон:

$$\tilde{v}_j^l(t) = v_j^l(t - 1) + \sum_i w_{ij} s_i^{l-1}(t) + b_j, \quad \tilde{m}_j^l(t) = m_j^l(t - 1),$$

$$s_j^l(t) = \begin{cases} \theta_j^l, & \tilde{v}_j^l(t) \geq \theta_j^l \\ -\theta_j^l, & \tilde{v}_j^l(t) \leq -\theta_j^l \quad \text{and} \quad \tilde{m}_j^l(t) > 0, \\ 0, & \text{otherwise} \end{cases}$$

$$v_j^l(t) = \tilde{v}_j^l(t) - s_j^l(t), \quad m_j^l(t) = \tilde{m}_j^l(t) + s_j^l(t),$$

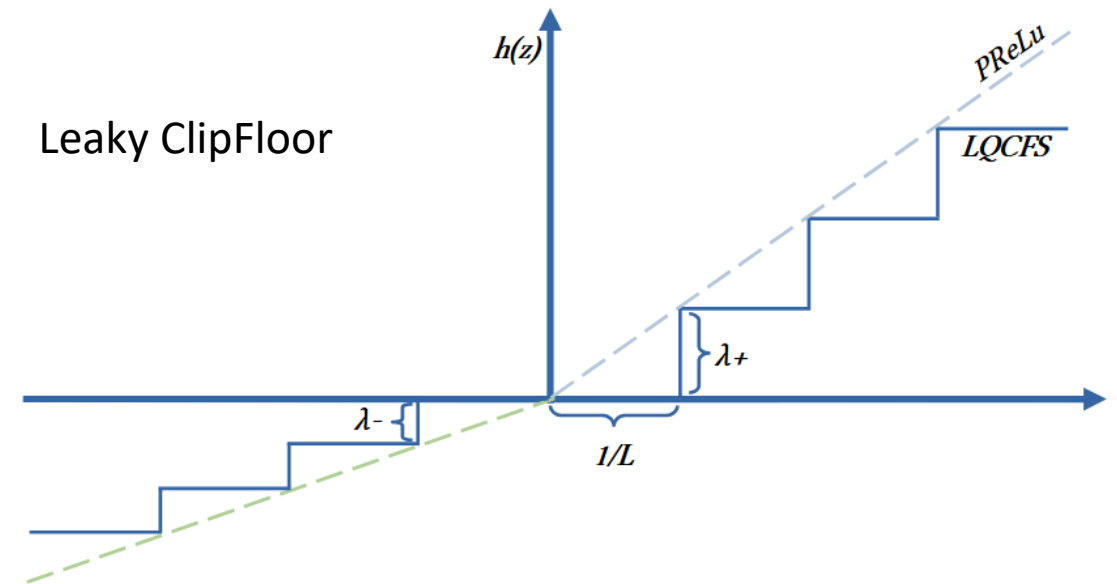
Method	Net. Arch.	ANN Acc.	T=32	T≥512
CIFAR10				
RMP [Han <i>et al.</i> , 2020]	VGG16	93.63	60.3	93.63(T=2048)
RateNorm [Ding <i>et al.</i> , 2021]	VGG16	92.9	85.4	92.86(Unknown)
Opt. [Deng and Gu, 2021]	VGG16	92.09	92.29	92.03(T=512)
<b>Ours (SNM+NeuronNorm)</b>	VGG16	94.09	<b>93.43</b>	<b>94.1</b> (T=512)
RateNorm [Ding <i>et al.</i> , 2021]	ResNet18	93.06	83.95	93.45(Unknown)
Opt. [Deng and Gu, 2021]	ResNet20	92.32	93.3	93.58(T≤600)
<b>Ours (SNM+NeuronNorm)</b>	ResNet18	95.39	<b>94.03</b>	<b>95.44</b> (T=1024)

## 4. Замена на Leaky ClipFloor

В ANN применяется LeakyClipFloor как аналог функции PReLU.

В SNN используется VIF нейрон (без памяти).

**Что дает:** решает проблему авансового спайкования.  
Увеличивает диапазон значений (за счет отрицательной части).



$$\bar{h}(z^l) = \begin{cases} \text{clip}_{\text{floor}} \left( \frac{1}{L} \left\lfloor \frac{z^l L}{\lambda_{\text{pos}}^l} \right\rfloor, 0, 1 \right) \\ \text{clip}_{\text{ceil}} \left( \frac{1}{L} \left\lfloor \frac{z^l L}{\lambda_{\text{neg}}^l} \right\rfloor, -1, 0 \right) \end{cases}$$



# Сравнение по проблемам ANN-to-SNN

Ф-ии активации и ANN	IF				BIF				mBIF			
	Ошибка дискретизации	Остат. Потенц. (+)	Остат. Потенц. (-)	Аванс. спайки	Ошибка дискретизации	Остат. Потенц. (+)	Остат. Потенц. (-)	Аванс. спайки	Ошибка дискретизации	Остат. Потенц. (+)	Остат. Потенц. (-)	Аванс. спайки
ReLU	+	+	+	+					+	+	+	+
PReLU					+	+	+	-				
CF	-	+	+	+					-	+	-	-
LCF					-	+	+	-				

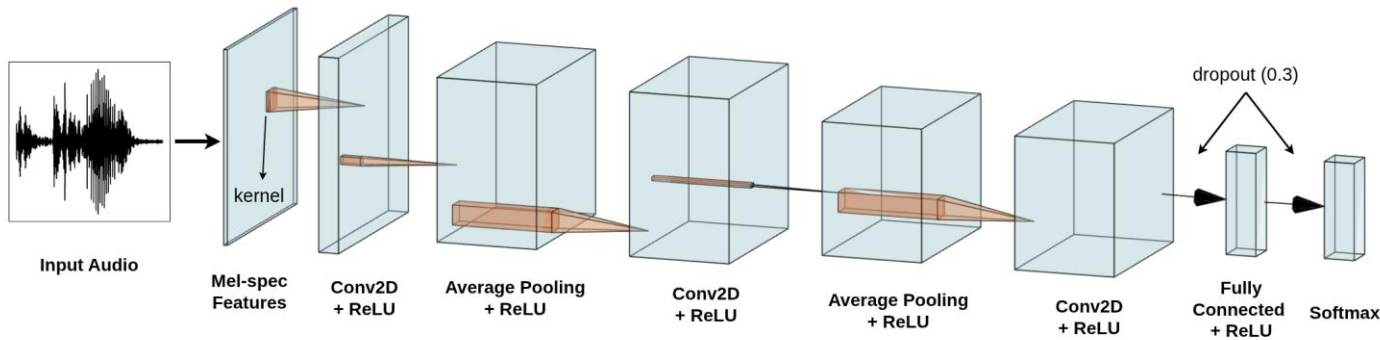
Важно: разные проблемы неодинаково влияют на итоговые результаты

# Проверка в одних условиях

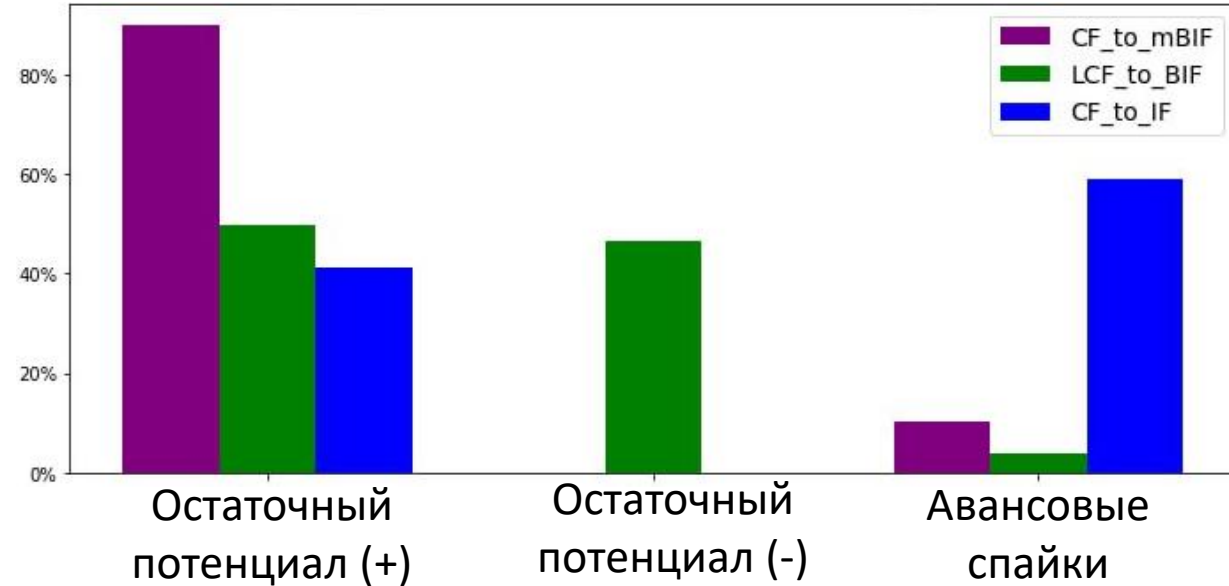
## Набор данных

Набор данных **HD** содержит разговорные цифры от 0 до 9 на английском и немецком языках (20 классов). Обучающий и тестовый наборы содержат 8332 и 2088 примеров соответственно.

## Архитектура сети



Доля от общего числа ошибок



Тип переноса	Точность (Accuracy)
CF -> IF	79%
CF -> mBIF	87%
LCF -> BIF	90%

# Вывод и дальнейшая работа

- 1) ANN-to-SNN методы активно развиваются,
- 2) предложены несколько эффективных способов для снижения зависимости от негативных эффектов переноса.

Что нехорошо:

- 1) Валидация подходов осуществляется с пропуском спайковых активаций между слоями (Average Pooling),
- 2) Применение исходных (неспайковых) входных данных существенно повышает точность.

Спасибо за внимание!